

ВЛИЯНИЕ ПРОМЕЖУТОЧНОГО ДИЭЛЕКТРИЧЕСКОГО СЛОЯ НА ФОТОТОК В ПОВЕРХНОСТНО-БАРЬЕРНЫХ СТРУКТУРАХ МЕТАЛЛ— n -Cd_xHg_{1-x}Te

Исмайлова Н. Д., Гусейнов Э. К., Курбанова Э. И.

В реальных контактах металл—полупроводник часто существует промежуточный сверхтонкий слой диэлектрика. В некоторых случаях для улучшения фотоэлектрических свойств [1] тонкие диэлектрические слои создаются преднамеренно. Считается, что наличие диэлектрика приводит к уменьшению темнового тока насыщения, в то время как фототок вследствие действия эффекта накопления неосновных носителей на границе раздела полупроводник—диэлектрик [2] остается неизменным. Однако по мере увеличения толщины диэлектрика становится существенной рекомбинация фотогенерированных носителей заряда по сравнению с их отводом от поверхности и величина фототока

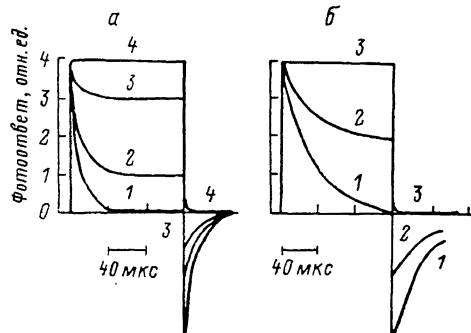


Рис. 1. Осциллограмма фотоответа структур Ni— n -Cd_{0.28}Hg_{0.72}Te с толщиной естественного окисла 90 Å.

R_H , кОм: а — 1, б — 20; $V_{обр}$, В: 1 — 0, 2 — 0.5, 3 — 0.8, 4 — 2.

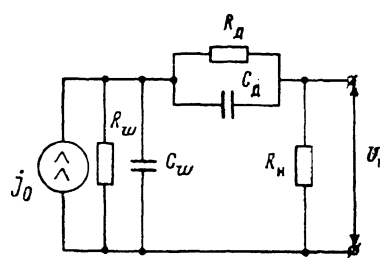


Рис. 2. Эквивалентная схема структуры металл—полупроводник с промежуточным диэлектрическим слоем.

R_d , G_w — сопротивления диэлектрика и области пространственного заряда соответственно, C_d , C_w — емкости диэлектрика и области пространственного заряда соответственно, j_0 — генератор тока.

уменьшается. В работах [3, 4] теоретически и экспериментально показано, что методом исследования кинетики установления фототока можно получить информацию о прозрачности диэлектрика, о величине рекомбинации и т. д.

В настоящей работе экспериментально исследовано влияние тонкого диэлектрического слоя на кинетику установления и механизм прохождения фототока в поверхностно-барьерных структурах металл— n -Cd_xHg_{1-x}Te при 80 К. Структуры изготавливались на основе n -типа Cd_xHg_{1-x}Te с $N_D - N_A = 10^{14} \div 10^{15}$ см⁻³ и $x = 0.25 \div 0.3$.

Толщина естественного окисла, измеренная эллипсометрическим методом, составляла 40—95 Å. Полупрозрачные электроды из Ni или Cu площадью 0.4 × 0.4 мм осаждались через маску термическим испарением в вакууме. Омический контакт из индия наносился на всю обратную сторону подложки методом вакуумного напыления. Периферийные области контактов затемнялись. При исследовании кинетики фототока источником излучения служил светодиод АЛ-106Б с длиной волны излучения 0.93 мкм, что соответствует поверхностной фотогенерации. Величина поверхностного изгиба зон, определенная методом насыщенной фотоэдс [5], а также знак фототока указывают на то, что фототок через структуру определяется неосновными носителями заряда. Исследование ВАХ структур показывает, что с увеличением обратного смещения фототок увеличивается. Для структур с $d = 80 \div 95$ Å при малых смещениях фототок практически отсутствовал, а функциональная зависимость проводимости диэлектрика от падения напряжения на нем аналогична приведенной в [6]. Это указывает

на существенную величину рекомбинации фотогенерированных пар по сравнению с их отводом от поверхности [7]. Наличие диэлектрического зазора также влияет на кинетику фототока. На рис. 1 приведены осциллограммы фотоответа структур на $n\text{-Cd}_{0.28}\text{Hg}_{0.72}\text{Te}$ с $d=90$ Å, снятые при одной освещенности, но при различных напряжениях смещения. Как видно, форма импульсов при $V=0$ знакопеременна и с увеличением смещения приближается к прямоугольной. Напряжение, соответствующее выходу из режима дифференцирования, уменьшается с увеличением нагрузочного сопротивления $R_{\text{в}}$. Время спада импульса увеличивается пропорционально сопротивлению при $R_{\text{в}} > 5$ кОм. Для объяснения наблюдаемых особенностей воспользуемся результатами работ [4, 6] и эквивалентной схемой (рис. 2). В соответствии со схемой при $V \approx 0$, когда сопротивление диэлектрика велико $R_{\text{x}} \gg R_{\text{в}}, R_{\omega}$, через структуру течет только емкостной ток, релаксирующий с $\tau = (R_{\text{в}} + R_{\omega}) C_{\text{x}}$ (в нашем случае $C_{\omega} \ll C_{\text{x}}$). В режиме короткого замыкания ($R_{\text{в}} C_{\omega} < R_{\text{x}} C_{\text{x}}$) фронт нарастания определяется величиной $R_{\text{в}} C_{\omega}$, а спад фотоответа, обусловленный рекомбинацией, происходит с $\tau = R_{\text{в}} C_{\text{x}}$. Величина эффективной скорости поверхностной рекомбинации связана с τ соотношением (7), приведенным в работе [4], оценка по которому дает $S \approx 10^5$ см/с. При больших значениях $R_{\text{в}}$, когда $R_{\text{в}} C_{\omega} > R_{\text{x}} C_{\text{x}}$, что соответствует режиму холостого хода, время спада определяется $R_{\text{в}} C_{\text{x}}$. Это значение времени спада использовалось для определения толщины диэлектрика, которая соответствовала значениям, полученным из эллипсометрических измерений. С увеличением $V_{\text{обр}}$ проводимость диэлектрика растет и, когда R_{x} становится меньше $R_{\text{в}}$, токи утечки через диэлектрик превышают емкостной ток и форма импульса приобретает прямоугольную форму. Так как проводимость диэлектрического слоя не зависит от $R_{\text{в}}$, то напряжение, соответствующее выходу из режима дифференцирования, уменьшается с увеличением $R_{\text{в}}$. Отметим, что при толщинах диэлектрического слоя $d=40-50$ Å токи проводимости через диэлектрик существенны при $V=0$ и выбросы импульса не наблюдаются. Введение дополнительного слоя диэлектрика SiO до $d=60$ Å, осуществляющее вакуумным напылением, не приводит к существенным изменениям особенностей кинетики фототока. Это свидетельствует о том, что механизм сквозных токов через диэлектрик не играет существенной роли при отводе неосновных носителей заряда [1, 6]. Отметим также, что наличие теплового фона (поток фона $\sim 10^{15}$ см $^{-2}$.с $^{-1}$) приводит к начальному накоплению неосновных носителей заряда в поверхностной области полупроводника, вследствие чего задержки спада фототока, обусловленного рекомбинацией, не наблюдается. Начальное изменение поверхностного потенциала (до $-10 kT/q$) может приводить к увеличению скорости поверхностной рекомбинации [1].

Таким образом, диэлектрический промежуточный слой в структурах металл— $\text{Cd}_x\text{Hg}_{1-x}\text{Te}$ может существенно влиять на ВАХ и кинетику установления фототока. Учет рекомбинации неосновных фотогенерированных носителей заряда и увеличение сквозных токов через диэлектрик с ростом обратного напряжения смещения позволяют удовлетворительно объяснить наблюдаемые экспериментальные результаты.

Л и т е р а т у р а

- [1] Вуль А. Я., Саченко А. В. — ФТП, 1983, т. 17, в. 8, с. 1361—1376.
- [2] Гуткин А. А., Седов В. Е. — ФТП, 1976, т. 10, в. 8, с. 1589—1591.
- [3] Герасимов А. Л., Гуткин А. А., Седов В. Е. — ФТП, 1980, т. 14, в. 1, с. 26—28.
- [4] Вуль А. Я., Санин К. В., Дидейкин А. Т., Зинчин Ю. С., Саченко А. В. — ФТП, 1983, т. 17, в. 8, с. 1471—1477.
- [5] Вуль А. Я., Санин К. В., Федоров В. И., Хансеваров Р. Ю., Шмарцев Ю. В.—Письма ЖТФ, 1979, т. 5, в. 15, с. 932—933.
- [6] Вуль А. Я., Дидейкин А. Т., Зинчин Ю. С., Санин К. В., Саченко А. В. — ФТП, 1986, т. 20, в. 8, с. 1444—1450.
- [7] Саченко А. В., Крупнова И. В. — ФТП, 1981, т. 15, в. 1, с. 73—81.

Получено 4.01.1988

Принято к печати 1.03.1988